

مقاله علمی-پژوهشی

ارزیابی چند شاخص طیفی برای برآورد عملکرد کلزا با استفاده از تصاویر سنجنده ستینل-۲

نعمی لویمی^۱، اسدالله اکرم^{۲*}، نیکروز باقری^۳، علی حاجی احمد^۴

تاریخ دریافت: ۱۳۹۸/۰۲/۰۳

تاریخ پذیرش: ۱۳۹۸/۰۴/۲۳

چکیده

سنمش از دور و به کارگیری تصاویر ماهواره‌ها به عملت سرعت کار و گستردگی سطح پوشش بسیار مورد توجه قرار گرفته است. کلزا به دلیل گل‌های زرد آن دارای رنگ پوشش گیاهی متفاوتی با سایر محصولات است و تحقیقات کمی در زمینه ارزیابی شاخص‌های طیفی بهمنظور پیش‌بینی عملکرد آن انجام گردیده است. در سال زراعی ۹۵-۹۶ با هدف پیش‌بینی عملکرد کلزا ده شاخص طیفی سنجنده ستینل-۲، مورد ارزیابی قرار گرفت. این تحقیق به شکل پیکسل‌منا در سه مزرعه انجام شد و محدوده شبکه‌ای پیکسل‌های مزارع با تکمیل سیستم موقعیت‌یابی جهانی سینماتیک زمان واقعی (RTKGPS) تعیین گردید. در این تحقیق مدل‌های رگرسیونی خطی ساده و چند متغیره و نیز شبکه‌ای عصبی به کار رفت. نتایج نشان داد براساس مدل رگرسیون خطی ساده، بین مراحل مختلف رشد، بیشترین ضریب تبیین (R^2) در هر یک از شاخص‌های گیاهی در یکی از دو مرحله اوج گل‌دهی و رسیدگی سبز رخ می‌دهد. براساس این مدل، در مرحله اوج گل‌دهی، شاخص تفاصل نرمال شده رودی (NDYI) با ۷۳ درصد بیشترین ضریب تبیین را نسبت به سایر شاخص‌ها احراز کرد. با به کارگیری مدل رگرسیون خطی چند متغیره گام به گام با ورودی چهار باند، سه باند مرئی و باند مادون قرمز نزدیک، بهترین مدل در مرحله اوج گل‌دهی با ضریب تبیین ۷۶ درصد و اعتبارسنجی ۷۳ درصد با ریشه میانگین مربعات خطا (RMSE) بهمیزان ۰/۶۴۱ به دست آمد. همچنین با استفاده از مدل شبکه عصبی و ورود چهار باند مذکور نیز بهترین مدل در مرحله اوج گل‌دهی با ضریب تبیین ۹۲ درصد (آموزش) و اعتبارسنجی (آزمون) ۷۷ درصد با RMSE بهمیزان ۰/۶۱۲ احراز شد.

واژه‌های کلیدی: پیش‌بینی عملکرد، سنمش از دور، سنجنده ستینل-۲، شاخص گیاهی، شاخص NDYI

با عرض افزایش سطح زیر کشت این محصول در سال‌های اخیر شده است (Norgholipor *et al.*, 2014; Roodi *et al.*, 2004).

طی چهار دهه اخیر، کشت جهانی کلزا به سرعت رشد کرده و از رتبه شش محصولات روغن گیاهی به رتبه دوم، بعد از سویا، ارتقاء یافته است؛ از لحاظ روغن گیاهی نیز کلزا بعد از سویا و نخل پالم سوم می‌باشد (Ash, 2017). دانه کلزا دارای میزان روغن بالا و نیز کنجاله آن غنی از پروتئین می‌باشد بهطوری که دانه کلزا ۳۸-۴۵ درصد روغن، و کنجاله آن ۳۸-۴۴ درصد پروتئین دارد (Ash, 2017). کسب اطلاعات و جمع‌آوری آمار و ارقام از ویژگی‌های منابع زمینی، هر روز بیشتر از روز پیش ضرورت می‌یابد. بهنظر می‌رسد دست‌یابی به یک بانک اطلاعات در این زمینه، بدون صرف هزینه زیاد، تنها با بهره‌گیری از علم سنجش از دور امکان‌پذیر باشد (Alizadeh Rabie, 2014). جمع‌آوری اطلاعات تولید محصولات که در سطح ملی و منطقه‌ای به وسیله پیمایش و سرشماری در کشورها معمول است بسیار هزینه‌بر و غیردقیق است (Gallego *et al.*, 2010). در مقابل، اندازه‌گیری‌های مخرب شاخص‌های محصول همچون عملکرد علاوه بر نیاز به زمان، به کارگیری آن‌ها در سطح وسیع عملی نمی‌باشد (Boschetti *et al.*, 2007). پژوهش در حوزه‌های سنجش از دور به دلیل هزینه مناسب، سرعت بالا و دقت

مقدمه

صرف سرانه روغن خوراکی کشور حدود ۱۶ کیلوگرم برآورد شده و نیاز داخلی حدود یک میلیون تن می‌باشد که بیش از ۹۱ درصد آن از خارج وارد می‌شود (Roodi *et al.*, 2004). در حال حاضر تعداد محدودی دانه‌های روغنی در کشور ما مورد توجه قرار می‌گیرد که از جمله آن‌ها و براساس بیشترین سطح زیر کشت می‌توان به سویا، آفتابگردان، کلزا و گلنگ اشاره نمود (Kazem *et al.*, 2016). توسعه کشت سویا، آفتابگردان، کنجد و گلنگ در کشور ما با مشکلاتی روبه‌رو است (Roodi *et al.*, 2004). از این‌رو وزارت جهاد کشاورزی برای تأمین نیاز داخلی روغن خوراکی کشور برنامه حمایتی برای افزایش توسعه کشت کلزا در کشور را تدوین نموده است که

۱- دانشجوی دکتری گروه مهندسی ماشین‌های کشاورزی، دانشکده مهندسی و فن‌آوری کشاورزی، پردیس کشاورزی و منابع طبیعی، دانشگاه تهران، کرج، ایران
۲- دانشیار، گروه مهندسی ماشین‌های کشاورزی، دانشکده مهندسی و فناوری کشاورزی، پردیس کشاورزی و منابع طبیعی، دانشگاه تهران، کرج، ایران
۳- استادیار پژوهش، مؤسسه تحقیقات فنی و مهندسی کشاورزی، سازمان تحقیقات، آموزش و ترویج کشاورزی، کرج، ایران
۴- استادیار، گروه مهندسی ماشین‌های کشاورزی، دانشکده مهندسی و فناوری کشاورزی، پردیس کشاورزی و منابع طبیعی، دانشگاه تهران، کرج، ایران
(*)- نویسنده مسئول: Email: aakram@ut.ac.ir
DOI: 10.22067/jam.v11i2.80232

محاسبه سطح زیر کشت آن با استفاده از ماهواره لندست-۸، نشان داد که بهترین زمان برای تخمین سطح زیر کشت این محصول در مرحله گل‌دهی آن است (Khalili *et al.*, 2016). نتایج ارزیابی شاخص NDVI، شاخص تفاضل پوشش گیاهی نرمال شده سبزینگی (GNDVI^۶)، شاخص گیاهی تعديل شده با خاک (SAVI^۷) و شاخص پوشش گیاهی تعديل شده (EVI^۸) منتج از ماهواره لندست-۸ برای تخمین عملکرد کلزا در جنوب غربی خوزستان نشان داد که بیشترین ضریب تبیین (R^2)، بهترین متعلق به GNVI و NDVI با ۵۵ و ۵۱ درصد می‌باشد (Zahirnia *et al.*, 2016). بررسی هفت شاخص طیفی حاصل از ماهواره لندست-۸ برای برآورد عملکرد کلزا در منطقه کرج نشان داد شاخص‌های NDVI^۹ با ۶۷ درصد و RVI با ۶۴ درصد بیشترین ضریب تبیین را کسب نمودند (Loveimi *et al.*, 2019).

نتایج ارزیابی محصولات جو، کلزا، نخود و گندم بهاره به وسیله سنجنده مودیس نشان داد که بین مناطق خشک، نیمه‌خشک و مرطوب، بیشترین همبستگی عملکرد این محصولات با شاخص NDVI مربوط به منطقه نیمه‌خشک می‌باشد. همچنین ضریب تبیین، با توجه به مناطق متفاوت مورد مطالعه، برای این محصولات بهترین همبستگی بین عملکرد و شاخص NDVI در میانه رشد، ۳۲-۸۲، ۴۸-۹۰ و ۵۳-۸۹ درصد گزارش شده است (Mkhabela *et al.*, 2011).

توارثی^{۱۰} کلزا برای بررسی امکان به کارگیری حسگر سبزینه‌سنجدستی به منظور تشخیص ذخایر توارثی با عملکرد بالا، براساس پوشش گیاهی محصول در طول دوره رشد، نشان داد که بیشترین میزان همبستگی بین عملکرد و شاخص NDVI در میانه رشد، ۳۲۰-۲۱۰ روز رشد، با ضریب همبستگی در محدوده ۷/۰ می‌باشد (Cowley *et al.*, 2014).

تحقیقات صورت گرفته با استفاده از شبکه عصبی مصنوعی^{۱۱} و تصاویر ماهواره‌ای جهت پیش‌بینی عملکرد سویا در ۱۱ ایالت آمریکا نشان داد که میزان همبستگی حاصل از شبکه عصبی با اختلاف کمی بهتر از رگرسیون چند متغیره است (Li *et al.*, 2007). در تحقیق مذکور بیشترین مقادیر ضریب تبیین ثبت شده در بین ایالت‌های موردن ارزیابی، بهترین آنها بهترین ۵۳ و ۳۳ درصد گزارش شده است. نتایج تحقیق دیگر در سه سال مختلف در مورد تخمین عملکرد ذرت با استفاده از شبکه عصبی و به کارگیری ۱۰۰ داده در هر سال نشان داد که بین شاخص‌های SAVI، GNDVI و شاخص

قابل قبول برای تصمیم‌سازی و مدیریت منابع، دارای اهمیت زیادی است (Mcbratney *et al.*, 2005).

برآورد میزان محصول علاوه بر کمک به مدیریت زمین‌های کشاورزی و کاهش هزینه‌های داشت و برداشت محصول، می‌تواند به ارزیابی میزان کود و مواد شیمیایی مورد نیاز مزرعه نیز کمک نماید، ضمن این که در پیش‌بینی فضای مورد نیاز برای ذخیره محصول برداشتی نیز مفید خواهد بود (Yamamoto *et al.*, 2014).

شاخص‌های طیفی گیاهی^{۱۲} شامل روابط مختلف ریاضی هستند که برای تحلیل اطلاعات تصاویر ماهواره‌ای برای تعیین صفات و ویژگی‌های گیاه همچون تراکم (Johnson *et al.*, 2003)، میزان زیست‌توده^{۱۳} (Ahamed *et al.*, 2011)، نیاز کودی (Li *et al.*, 2008) و یا موارد مدیریتی همچون تفکیک محصولات (Sicre *et al.*, 2016) و مدیریت بقا (Rostami and Afzali Grouh, 2017) مورد استفاده قرار می‌گیرند. مطالعات زیادی به ارتباط بین داده‌های طیفی ناشی از محصول و صفات متعدد بیولوژیکی و فیزیولوژیکی دست یافته‌اند (Goel *et al.*, 2003; Jago *et al.*, 1999; Lee *et al.*, 2004; Vigneau *et al.*, 2011; Zou *et al.*, 2011). امروزه یکی از مهم‌ترین موضوعات سنجش از دور، ارزیابی شاخص‌های طیفی بر حسب میزان حساسیت آن‌ها به ویژگی‌های بیوفیزیکی گیاهان و نیز عوامل موثر در بازتاب‌های طیفی پوشش محصول است (Alavipanah, 2016). شاخص تفاضل پوشش گیاهی نرمال شده (NDVI^{۱۴}) مدت‌ها است که به عنوان یک روش غیرمستقیم برای تعیین عملکرد محصول استفاده می‌شود (Raun *et al.*, 2001). در دهه‌های اخیر به منظور بهبود شاخص NDVI و ارائه شاخص‌های جدید برای اصلاح اثرات خاک و اتمسفر، تلاش‌های زیادی صورت گرفته است (Alavipanah, 2016).

شاخص نسبت پوشش گیاهی (RVI^{۱۵}) در تخمین عملکرد گندم دوروم مناسب‌تر از شاخص NDVI است (Aparicio *et al.*, 2000).

وضعیت مشابهی نیز برای برآورد عملکرد ذرت به دست آمد (Weber *et al.*, 2012).

در کشور ما در زمینه بررسی محصول کلزا از طریق طیف‌های ماهواره‌ای، تحقیقات محدودی صورت گرفته است. پژوهش انجام شده در دشت ناز ساری جهت تفکیک محصول کلزا از سایر پدیده‌ها و

6- Green Normalization Difference Vegetation Index

7- Soil Adjusted Vegetation Index

8- Enhanced Vegetation Index

9- Normalized Difference Yellowness Index

10- Germplasm

11- GreenSeeker

12- Artificial Neural Net (ANN)

1- Spectral Vegetation Indices

2- Biomass

3- Normalized Difference Vegetation Index

4- Ratio Vegetation Index

5- Canopy

دارند (Dominguez *et al.*, 2017). در این مطالعه شاخص‌های NDVI و GNDVI نتایج بهتری در مقایسه با شاخص‌های دیگر کسب کردند و سایر شاخص‌های مطالعه حاضر بررسی نشدند. مطالعه دیگر نشان داد که ارتباط عملکرد کلزا و شاخص NDVI به موازات افزایش میزان گل‌دهی در طول رشد، کاهش می‌یابد (Piekarczyk, 2011). طیفی همچون NDVI با رابطه ضعیف گزارش شده است (Pratt, 2013). همچنین مطالعه جامعی که در طول سال‌های ۲۰۰۸ تا ۲۰۱۳ در مزارع آمریکا بر محصولات مختلف زراعی انجام شد، نشان داد میزان همبستگی شاخص‌های گیاهی منتج از سنجنده مودیس، واضح ۲۵۰ متری، با عملکرد کلزا نسبت به گندم، جو، ذرت، پنبه، سیب‌زمینی، سورگوم، سویا و چندرقند بسیار پایین‌تر است (Johnson, 2016).

اکنون با توجه به مشکلات پیش‌بینی عملکرد کلزا و نیز جدید و در دسترس بودن تصاویر سنجنده سنتینل-۲ با قدرت تفکیک مکانی و زمانی مناسب، این پژوهش با هدف ارزیابی شاخص‌های مختلف طیفی همچون عملکرد کلزا، نشان داد که براساس رگرسیون چند متغیره و سه ورودی شامل شاخص NDVI، شاخص تفاضل پوشش گیاهی نرمال شده سبز (NDVIG^۱) و شاخص تفاضل پوشش گیاهی نرمال شده لبه قرمز (NDVI_{RE}^۲)، ضریب تبیین در دو استان مختلف مورد مطالعه و ۰/۵۹ و بهطور کل ۰/۳۲ بوده است (Schwalbert *et al.*, 2018).

مقایسه تصاویر از مرحله اول جوانه‌زنی تا مرحله غلافدهی و رسیدگی کامل محصول بهوسیله طیفسنجی زمینی نشان داد بهترین زمان تصویربرداری برای برآورد عملکرد، اوج گل‌دهی کلزا است (Sulik and Long, 2016; Zhang and He, 2013) در مطالعه روی کلزا (Sulik and Long, 2016) و براساس طیفسنجی زمینی (نصب طیفسنج بر سکوی متحرک) برای اولین بار برای برآورد عملکرد آن شاخص جدید NDYI^۳ تعریف شد. این شاخص در سطح مزارع و بهوسیله تصاویر سنجنده مودیس نیز ارزیابی گردید. در تمام ارزیابی‌های صورت گرفته، در سطح پلاتها با کمک طیفسنج و نیز در سطح مزارع با بهکارگیری تصاویر مودیس، این شاخص نتایج بهتری کسب کرد. در یک مقایسه در این تحقیق ضریب تبیین بین عملکرد و شاخص جدید NDYI مقدار ۷۲ درصد به دست آمد در حالی که این ضریب برای NDVI به میزان ۶۶ درصد بود. اهمیت این شاخص جدید به این دلیل است که تمام مطالعات قبل صورت گرفته برای سنجش محصول کلزا توسط سنجنده‌های ماهواره‌ها، مقادیر رابطه پایینی بین عملکرد و شاخص‌های طیفی گیاهی معمول همچون NDVI را گزارش داده بودند. این مسئله ناشی از تفاوت ظاهر محصول کلزا با محصولات دیگر می‌باشد که پوشش گیاهی کلزا از میانه رشد به بعد به رنگ زرد تغییر می‌کند در حالی که پوشش گیاهی محصولات دیگر همیشه سبز می‌باشد. به همین دلیل مطالعات قبلی علت ارتباط کم عملکرد و شاخص NDVI را ناشی از رنگ پوشش گیاهی زرد گل‌های کلزا عنوان کردند (Basnyat *et al.*, 2004).

بررسی ارتباط شاخص‌های طیفی گیاهی حاصل از سنجنده M+ ماهواره لنده و عملکرد کلزا در مراحل مختلف رشد نشان داد که همه شاخص‌های مورد ارزیابی رابطه نسبتاً ضعیفی با عملکرد

مواد و روش‌ها

مکان و شرایط تحقیق

این پژوهش در سال زراعی ۹۵-۹۶ در شهرستان کرج، زمین آزمایشی موسسه تحقیقات اصلاح بذر، با عرض جغرافیایی ۳۵°۳۵' و ۴۷°۴۸' دقيقه و ۳۵°۵۵' و ۴۷°۵۸' ثانیه شمالی و طول جغرافیایی ۵۰°۰۰' درجه و ۵۵°۰۰' دقيقه و ۵۸°۰۰' ثانیه شرقی انجام گردید. در این سال زراعی، در زمین مذکور، کشت کلزا در سه مزرعه با مساحت حدود ۱/۸، ۲/۶ و ۲/۲ هکتار انجام گرفت، که به عنوان محل این آزمایش انتخاب شدند (شکل ۱).

هر سه مزرعه از نظر زمان کاشت و رسیدگی‌های زراعی در طول رشد شرایط مشابه داشتند. عملیات کاشت در مهرماه صورت گرفت و آبیاری و نیز کوددهی و سمپاشی در طول رشد و با فاصله کوتاه و گاه در یک روز برای سه مزرعه انجام شد. لذا پنج مرحله رشد مورد ارزیابی شامل مرحله قبل از شروع گل‌دهی (قبل از ساقه رفت)، ابتدای گل‌دهی (ابتدای ساقه رفت)، اوج گل‌دهی، رسیدگی سبز (کامل شدن غلاف) و رسیدگی خشک در سه مزرعه با فاصله حداقل دو تا چهار روز شروع و پایان یافتند و همگی از نیمه دوم اسفند تا اوخر خرداد رخ دادند. یادآور می‌گردد این مراحل مهم‌ترین دوره‌های

گیاهی خط عمودی خاک (PVI^۱)، شاخص اخیر یعنی PVI با توانایی بیشتری توانست عملکرد را پیش‌بینی نماید (Panda *et al.*, 2010).

مقادیر ضریب تبیین برای سه شاخص GNDVI، NDVI و SAVI به ترتیب بین ۰/۹۵-۰/۹۴، ۰/۹۵-۰/۹۶ و ۰/۹۶-۰/۹۷ درصد بدست آمد، در حالی که این مقادیر برای شاخص PVI بین ۰/۸۳ تا ۰/۹۶ درصد بود.

به دلیل عمر کوتاه سنجنده سنتینل-۲، مطالعات محدودی در زمینه پایش محصولات کشاورزی از جمله عملکرد محصولات توسط آن صورت گرفته شده است. ارزیابی مزارع ذرت بهوسیله این سنجنده نشان داد که براساس رگرسیون چند متغیره و سه ورودی شامل شاخص NDVI، شاخص تفاضل پوشش گیاهی نرمال شده سبز (NDVIG^۲) و شاخص تفاضل پوشش گیاهی نرمال شده لبه قرمز (NDVI_{RE}^۳)، ضریب تبیین در دو استان مختلف مورد مطالعه ۰/۶۸ و ۰/۵۹ و بهطور کل ۰/۳۲ بوده است (Schwalbert *et al.*, 2018).

مقایسه تصاویر از مرحله اول جوانه‌زنی تا مرحله غلافدهی و رسیدگی کامل محصول بهوسیله طیفسنجی زمینی نشان داد بهترین زمان تصویربرداری برای برآورد عملکرد، اوج گل‌دهی کلزا است (Sulik and Long, 2016; Zhang and He, 2013) در مطالعه روی کلزا (Sulik and Long, 2016) و براساس طیفسنجی زمینی (نصب طیفسنج بر سکوی متحرک) برای اولین بار برای برآورد عملکرد آن شاخص جدید NDYI تعریف شد. این شاخص در سطح مزارع و بهوسیله تصاویر سنجنده مودیس نیز ارزیابی گردید. در تمام ارزیابی‌های صورت گرفته، در سطح پلاتها با کمک طیفسنج و نیز در سطح مزارع با بهکارگیری تصاویر مودیس، این شاخص نتایج بهتری کسب کرد. در یک مقایسه در این تحقیق ضریب تبیین بین عملکرد و شاخص جدید NDYI مقدار ۷۲ درصد به دست آمد در حالی که این ضریب برای NDVI به میزان ۶۶ درصد بود. اهمیت این شاخص جدید به این دلیل است که تمام مطالعات قبل صورت گرفته برای سنجش محصول کلزا توسط سنجنده‌های ماهواره‌ها، مقادیر رابطه پایینی بین عملکرد و شاخص‌های طیفی گیاهی معمول همچون NDVI را گزارش داده بودند. این مسئله ناشی از تفاوت ظاهر محصول کلزا با محصولات دیگر می‌باشد که پوشش گیاهی کلزا از میانه رشد به بعد به رنگ زرد تغییر می‌کند در حالی که پوشش گیاهی محصولات دیگر همیشه سبز می‌باشد. به همین دلیل مطالعات قبلی علت ارتباط کم عملکرد و شاخص NDVI را ناشی از رنگ پوشش گیاهی زرد گل‌های کلزا عنوان کردند (Basnyat *et al.*, 2004).

بررسی ارتباط شاخص‌های طیفی گیاهی حاصل از سنجنده ETM+ ماهواره لنده و عملکرد کلزا در مراحل مختلف رشد نشان داد که همه شاخص‌های مورد ارزیابی رابطه نسبتاً ضعیفی با عملکرد

1- Perpendicular Vegetation Index (PVI)

2- Green NDVI

3- Red-edge NDVI

با عملکرد مورد ارزیابی قرار گرفتند.

رشد می‌باشد که در این تحقیق برای ارزیابی روابط تصاویر سنجنده



شکل ۱ - موقعیت سه مزرعه آزمایشی کلزا: F1: مزرعه دوم، F2: مزرعه اول، F3: مزرعه سوم

Fig.1. The location of the three experimental canola farms: F1: Farm1, F2: Farm2, F3: Farm3

مزرعه همراه با موقعیت مراکز آن‌ها از طریق نسخه کلاسیک ENVI استخراج شد.

تعیین موقعیت پیکسل‌ها در داخل مزارع و روش نمونه‌برداری

این تحقیق پیکسل‌بنا بود. لذا تعیین دقیق موقعیت پیکسل‌ها داخل مزارع آزمایشی و متعاقب آن انتخاب مکان نمونه‌برداری درون آن‌ها نقش اساسی در افزایش دقت برآورد عملکرد ایفا می‌کرد. در این تحقیق برای این منظور موارد ذیل رعایت شدند:

- ابتدا با استفاده از اخذ خروجی از تصاویر و مشخص شدن مراکز پیکسل‌های واقع در هر یک از مزارع، به وسیله نرم‌افزارهای Excel و AutoCAD مکان شطرنجی پیکسل‌ها و نقشه توزیع آن‌ها مشخص گردید (شکل ۳-الف).

- محدوده شبکه‌ای پیکسل‌های هریک از مزارع با کمک دستگاه سیستم موقعیت‌یابی جهانی سینماتیک زمان واقعی (RTK GPS) دو فرکانسه و با خطای کمتر از ۱۰ سانتی‌متر و با کمک نوار ۱۰۰ متری روی زمین علامت‌گذاری شد. این کار قبل از ساقه رفتن محصول و زمانی که امکان ورود به مزرعه به سادگی امکان داشت، انجام گرفت. بعد از آن در طول رشد، چهار گوش پیکسل‌های انتخابی برای اندازه‌گیری، با سنگ، اسپری رنگ و علمک علامت‌گذاری شدند (شکل ۳-ب).

- از هر پیکسل پنج نمونه از چهار گوش و با فاصله مناسب از کناره‌ها، همراه با یک نمونه از مرکز اخذ شد، تا میانگین کل نمونه‌ها به عنوان نماینده پیکسل در نظر گرفته شود (شکل ۳-ج).

- نمونه‌برداری از داخل کادر ۱ در ۱ متری میله‌ای انجام گردید (شکل ۳-د).

- موقعیت دقیق مکان نمونه‌ها (مراکز کادرها) بعد از برداشت به وسیله دستگاه RTK GPS یادداشت گردید (شکل ۳-ه).

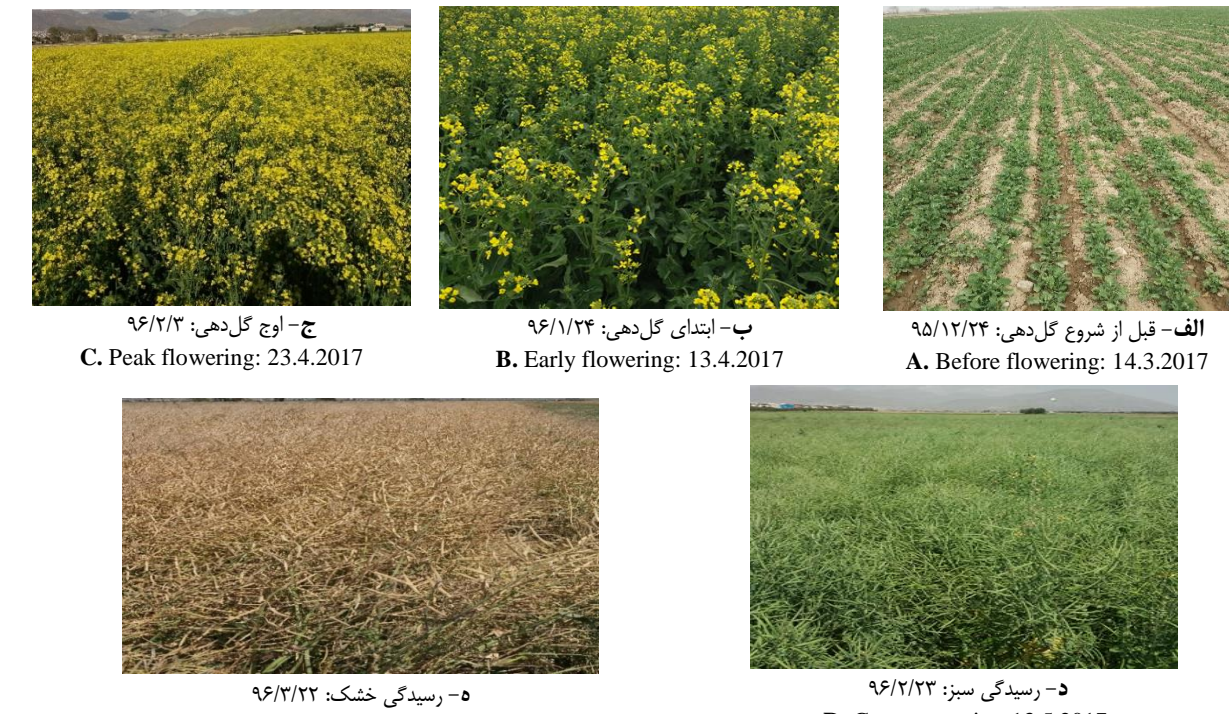
تصاویر سنجنده و پردازش آن‌ها

سنجنده سنتیبل-۲ مشکل از دو ماهواره خورشیدآهنگ است. اولین ماهواره آن در ژوئن ۲۰۱۵ و دومین آن در مارس ۲۰۱۷ راهاندازی شد. این ماهواره از ۱۳ باند طیفی در محدوده‌های مرئی، مادون قرمز نزدیک و مادون قرمز طول موج کوتاه برخوردار می‌باشد. قدرت تفکیک مکانی این سنجنده با توجه به باندها ۲۰ و ۶۰ متر است. همچنین سنتیبل-۲ از توان تفکیک زمانی ۵ روز (با توجه به دو ماهواره آن) برخوردار است (Languille *et al.*, 2017). در این تحقیق از سه باند محدوده مرئی (آبی) (۴۵۷/۵-۵۲۲/۵، ۵۴۲/۵-۵۷۷/۵ و ۵۴۲/۵ و قرمز: ۶۸۰-۷۸۴/۵ نانومتر) و نیز باند مادون قرمز نزدیک (۸۹۹/۵-۸۷۸/۵ نانومتر) این سنجنده که همگی دارای تفکیک مکانی ۱۰ متر می‌باشد برای محاسبه شاخص‌های طیفی مورد مطالعه، استفاده شد.

برای هر یک از پنج مرحله رشد، بهترین تصویر سنجنده سنتیبل-۲ که در دامنه زمانی مرحله مربوطه بوده و از نظر عدم وجود ابر و مه مناسب تشخیص گردیده، انتخاب شد (شکل ۲). تصاویر مربوطه از سایت سازمان زمین‌شناسی آمریکا^۱ اخذ شد. پردازش تصاویر این سنجنده و استخراج اطلاعات به وسیله نرم‌افزارهای ENVI5.3 و SNAP انجام گردید. همچنین برای انجام عملیات پیش‌پردازش تصاویر همچون تصحیحات اتمسفری^۲ از برنامه Sen2Cor استفاده شد. گرددید و صحت آن براساس منحنی‌های طیفی سه پدیده گیاه، آب و خاک قابل قبول ارزیابی شد. بعد از آن تصویر پیش‌پردازش شده مورد نظر در نرم‌افزار SNAP باز شده و در فرمت استاندارد ENVI ذخیره گردید تا به این طریق، باز شدن تصویر تصحیح شده در نرم‌افزار ENV5.3 ممکن شود. در ادامه کار، تصویر هر یک از مزارع به طور جدا بر شده شد و میزان کمی هر باند طیفی برای پیکسل‌های هر

1- Earthexplorer.usgs.gov

2- Atmospheric Correction

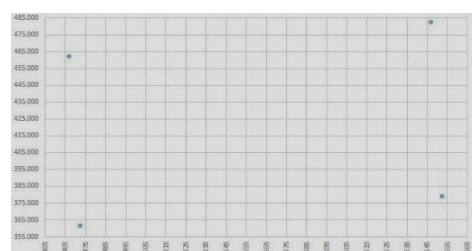


شکل ۲- تاریخ اخذ شده تصاویر سنجنده سنتینل-۲ و عکس‌های متناظر مربوط به پنج مرحله رشد

Fig.2. The date of the Sentinel-2 images and the corresponding pictures of five growing stages

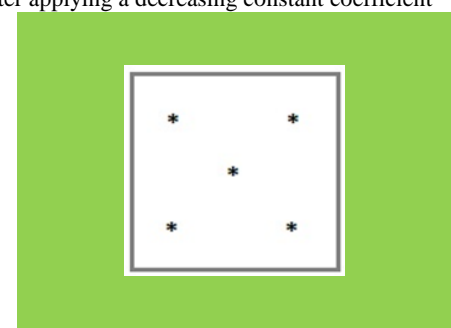


ب- تعیین چهار گوش پیکسل‌ها روی زمین
B. Determination of four pixels corners on farms surface



الف- استخراج نقشه توزیع پیکسل‌ها در مزارع؛ مزرعه یک، محور X و Y طول و عرض جغرافیایی بر حسب UTM بعد از اعمال ضرب تاب کاهشی

A. Extraction of the pixel network of each farm, farm 1, Axis of X and Y are longitude and latitude in UTM, after applying a decreasing constant coefficient



ج- نمونهبرداری از پنج نقطه از پیکسل
C. Sampling from five spots from pixel

۵- تعیین موقعیت دقیق نمونه‌ها با کمک دستگاه RTKGPS
E. Recording exact location of the samples by RTKGPS

۵- نمونهبرداری مزرعه‌ای از درون کادر میله‌ای

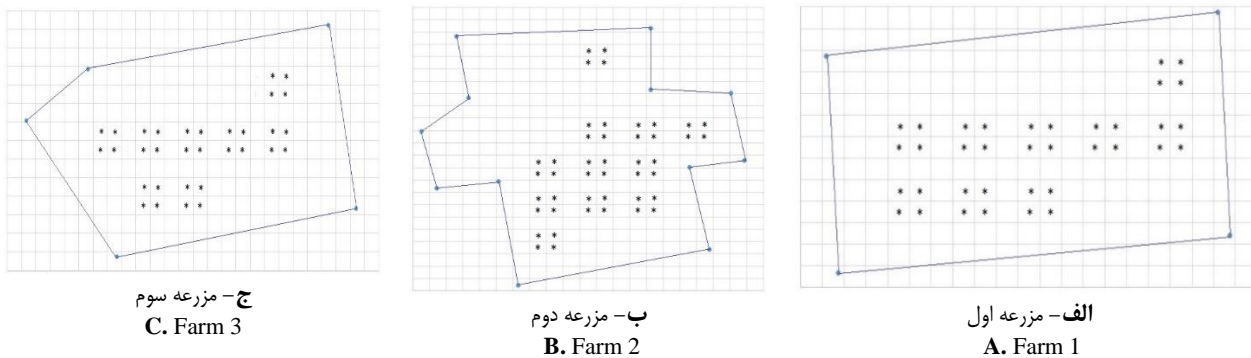


شکل ۳- تعیین موقعیت پیکسل‌ها و نمونهبرداری در مزرعه

Fig.3. Determining of the pixels location and sampling in the experimental farms

قرار داده شد. گونی‌های مربوط به نمونه‌ها بعد از جمع‌آوری از مزارع به آزمایشگاه منتقل گردید و در آنجا بعد از عملیات خشک کردن، عمل کوش و جدایش صورت گرفت. دانه‌ها باز در معرض آفتاب قرار گرفت و توزین آن‌ها در رطوبت ۱۰-۱۲ درصد انجام شد و در نهایت میانگین نمونه‌های درون هر پیکسل به عنوان نماینده عملکرد آن پیکسل مشخص گردید.

از سه مزرعه آزمایشی، ۱۱۲ پیکسل نمونه‌برداری شد که سهم هر یک از مزارع ۱، ۲ و ۳ به ترتیب ۳۶، ۴۴ و ۳۲ بود. در این تحقیق پیکسل‌هایی که از حاشیه مزرعه فاصله مناسبی داشتند و با پدیده‌های حاشیه اختلاط نداشتند، انتخاب شدند (شکل ۴). همان‌طور که ذکر شد در این تحقیق برای نمونه‌برداری از کادر ۱ متری استفاده شد. بدین شکل در هنگام رسیدگی خشک، محصول درون کادر به صورت دستی برداشت گردیده و همراه با کد خاص در داخل گونی



شکل ۴- محل پیکسل‌های انتخابی برای نمونه‌برداری در مزارع آزمایشی
Fig.4. Location of selected pixels for sampling in experimental farms

مبانی آماری پردازش داده‌ها در این تحقیق، مدل‌های رگرسیون ساده و چند متغیره و نیز شبکه عصبی مصنوعی است. یکی از روش‌هایی که می‌توان با آن رابطه بین دو متغیر را محاسبه نمود، رگرسیون ساده است. هدف در مدل رگرسیون ساده رسیدن به یک مدل پیش‌بینی براساس یک متغیر مستقل است (Rezaei and Mirmohammadi, 2011). در بسیاری از مطالعات پیش‌بینی عملکرد محصولات از مدل خطی رگرسیون ساده^۱ برای ارزیابی ارتباط عملکرد و هر یک از شاخص‌های گیاهی استفاده شده است (Sulik and Long, 2016; Shanahan *et al.*, 2001; Aparicio *et al.*, 2000). در صورتی که متغیرهای مستقل بیش از یک عامل باشند، مدل رگرسیون چند متغیره به کار می‌رود. در این رگرسیون هدف ارزیابی ارتباط بین چند عامل مستقل با یک عامل وابسته است (Sanaeinejad *et al.*, 2014) (Rischbeck *et al.*, 2016; Sanaeinejad *et al.*, 2014) برخی مطالعات (Panda *et al.*, 2010; Li *et al.*, 2007) برای پیش‌بینی عملکرد محصولات براساس باندهای ورودی مورد ارزیابی قرار گرفته است. مدل شبکه عصبی نیز در مواردی که ارتباط بین متغیرهای ورودی و خروجی دارای پیچیدگی‌های خاص باشد و یا از روند مشخص و روشنی تبعیت نمی‌کند، کاربرد بیشتری دارد (Kaab *et al.*, 2019).

(Panda *et al.*, 2010; Li *et al.*, 2007)

شاخص‌های مورد ارزیابی

شاخص‌های زیادی در سنجش از دور براساس ترکیبی از نسبت باندها تعریف شده‌اند که هر کدام در زمینه‌ای همچون تشخیص پوشش گیاهی، تخمین میزان زیست‌توده یا عملکرد و گاه در زمینه‌های تخصصی‌تر همچون برآورد بقاوی محصولات و تشخیص خاک ورزی حافظتی از خاک ورزی مرسوم نتایج بهتری داشته‌اند. در این تحقیق شاخص‌هایی مورد مطالعه قرار گرفته‌اند که در زمینه زیست‌توده یا عملکرد محصولات زراعی کاربرد بیشتری داشته‌اند. بدین شکل شاخص‌های طیفی متداول و پرکاربرد همچون NDVI و RVI، در کار شاخص جدیدی همچون NDYI که در مطالعات اخیر در زمینه کلزا مورد توجه قرار گرفته، ارزیابی شده‌اند. در کل ده شخص طیفی شامل GNDVI، GARI، EVI2، BNDVI، EVI، MTVI2، MTVI1، NDYI، NDVI و RVI مورد مطالعه قرار گرفته‌اند که تعدادی از آن‌ها همانند EVI2، MTVI2 در روابط آن‌ها به جای دو باند، سه باند طیفی دخیل داده شده است (جدول ۱). به طور کلی سعی شده است که علاوه بر موارد مذکور، شاخص‌های مورد مطالعه، تمام حوزه‌های طیفی آبی، سبز، قرمز و مادون قرمز را تحت پوشش قرار دهند. به هر حال هر یک از ده شاخص مورد مطالعه با توجه به استخراج باندهای طیفی که در قبیل ذکر شد، براساس رابطه آن‌ها که در جدول ۱ آمده است، برای پیکسل‌های مورد ارزیابی محاسبه گردید.

پردازش‌های آماری تحقیق

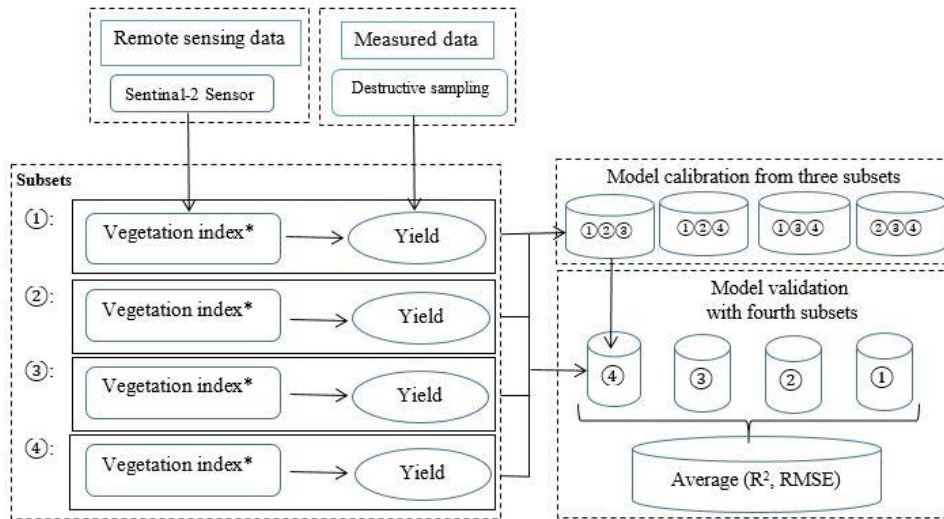
جدول ۱- شاخص‌های طیفی مورد مطالعه برای پیش‌بینی عملکرد کلزا در این تحقیق

Table 1- The studied spectral indices for canola yield prediction

شاخص گیاهی Index	اختصار Acronym	رابطه Equation	منبع Reference
شاخص تفاضل پوشش گیاهی نرمال شده آبی Blue Normalized Difference Vegetation Index	BNDVI	$(\text{NIR} - \text{Blue}) / (\text{NIR} + \text{Blue})$	Sulik and Long, (2016)
شاخص پوشش گیاهی تدبیل شده Enhanced Vegetation Index	EVI	$2.5(\text{NIR} - \text{Red}) / [(\text{NIR} + 6\text{Red} - 7.5\text{Blue} + 1)]$	Huete <i>et al.</i> , (1996)
شاخص پوشش گیاهی تدبیل شده ۲- 2-band Enhanced Vegetation Index	EVI2	$2.5(\text{NIR} - \text{Red}) / [(\text{NIR} + 2.4\text{Red} + 1)]$	Jiang <i>et al.</i> , (2008)
شاخص تفاضل پوشش گیاهی نرمال شده سبزینگی Green Normalization Difference Vegetation Index	GNDVI	$(\text{NIR} - \text{Green}) / (\text{NIR} + \text{Green})$	Buschmann and Nagel, (1993)
شاخص جوی انعطافی سبزینگی Green Atmospherically Resilient Index	GARI	$[\text{NIR} - (\text{Green} - (\text{Blue} - \text{Red}))] / [\text{NIR} + (\text{Green} - (\text{Blue} - \text{Red}))]$	Gitelson <i>et al.</i> , (2002)
شاخص تفاضل پوشش گیاهی نرمال شده Normalization Difference Vegetation Index	NDVI	$(\text{NIR} - \text{Red}) / (\text{NIR} + \text{Red})$	Rouse <i>et al.</i> , (1974)
شاخص تفاضل نرمال شده زردی Normalized Difference Yellowness Index	NDYI	$(\text{Green} - \text{Blue}) / (\text{Green} + \text{Blue})$	Sulik and Long, (2016)
شاخص پوشش گیاهی اصلاح شده سه گانه-۱ Modified Triangular Vegetation Index 1	MTVI1	$1.2[1.2(\text{NIR-G}) - 2.5(\text{Red-G})]$	Haboudane <i>et al.</i> , (2004)
شاخص پوشش گیاهی اصلاح شده سه گانه-۲ Modified Triangular Vegetation Index 2	MTVI2	$[1.8(\text{NIR-G}) - 3.75(\text{Red-G})] / [(2(\text{NIR+1})^2 - (6\text{NIR}-5(\text{Red}))^{0.5}) - 0.5]^{0.5}$	Haboudane <i>et al.</i> , (2004)
شاخص نسبت پوشش گیاهی Ratio Vegetation Index	RVI	NIR / Red	Birth and McVey, (1968)

نرم‌افزار Minitab استفاده گردید. همچنین در این پژوهش برای پیاده‌سازی شبکه عصبی از یک شبکه پرسپترون چندلایه (MLP) که اصولاً از یک لایه ورودی، یک یا چند لایه پنهان و یک لایه خروجی تشکیل یافته، استفاده شده است. برای آموزش این شبکه، معمولاً از الگوریتم پسانشوار (BP) استفاده می‌شود. در طی آموزش شبکه MLP به کمک الگوریتم یادگیری BP (پسانشوار، ابتدا محاسبات از ورودی شبکه به سوی خروجی شبکه انجام می‌شود و سپس مقادیر خطای محاسبه شده به لایه‌های قبل انتشار می‌یابد. در ابتدا، محاسبه خروجی به صورت لایه به لایه انجام می‌شود و خروجی هر لایه، ورودی لایه بعدی خواهد بود. در حالت پسانشوار، ابتدا لایه‌های خروجی تعديل می‌شود، زیرا برای هر یک از نرون‌های لایه خروجی، مقدار مطلوبی وجود دارد و می‌توان به کمک آن‌ها و قاعده‌های به هنگام‌سازی، وزن‌ها را تعدیل نمود (Kaab *et al.*, 2019).

در این تحقیق برای تعیین توانایی هر یک از شاخص‌های مورد مطالعه به منظور تخمین عملکرد کلزا از رگرسیون ساده استفاده گردید. بدین شکل در هر مرحله رشد، هر شاخص طیفی به‌طور جداگانه به عنوان متغیر مستقل و عملکرد کلزا به عنوان متغیر وابسته در نظر گرفته شد. همچنین در رگرسیون چند متغیره و نیز شبکه عصبی، متغیرهای مستقل (ورودی‌ها) شامل چهار باند، سه باند مرئی و باند مادون قرمز نزدیک، بوده و متغیر وابسته (خروجی)، عملکرد کلزا می‌باشد. نتیجه رگرسیون چند متغیره تعیین یک رابطه بین باندها معادل شاخص‌های طیفی است. این رابطه ترکیبی از باندها که بیشترین میزان همبستگی با عملکرد دارد را نشان می‌دهد. برای اعمال رگرسیون چند متغیره از روش گام به گام استفاده شد. موقعی رگرسیون گام به گام به کار می‌رود که هدف نشان دادن سهم هر یک از متغیرهای مستقل در پیش‌بینی متغیر وابسته باشد و نیز تعیین این که در کل این متغیرها چقدر می‌توانند متغیر وابسته را پیش‌بینی نمایند (Sanaeinejad *et al.*, 2014).



* در رگرسیون ساده هر یک از شاخص‌های گیاهی و در رگرسیون چند متغیره چهار باند به عنوان ورودی در نظر گرفته شدند.

*In simple regression, each of vegetation indices and in multivariate regression, four bands, were as inputs.

شکل ۵- دیاگرام اعتبارسنجی متقاطع چند بخشی

Fig.5. Diagram of cross validation; K-Fold

نتایج و بحث

نتایج تجزیه ده شاخص مورد مطالعه به وسیله رگرسیون ساده نشان داد که میزان همبستگی هر یک از این شاخص‌ها با عملکرد کلزا در مراحل مختلف رشد تفاوت قابل توجهی دارد. بدین ترتیب ضریب تبیین شاخص NDVI در مرحله قبل از گل‌دهی، خیلی ضعیف (۰-۲۰ درصد)، در مراحل رسیدگی سبز و رسیدگی خشک، ضعیف (۲۱-۴۰ درصد)، در مرحله ابتدای گل‌دهی، متوسط (۴۱-۶۰ درصد)، و در مرحله اوج گل‌دهی، خوب (۶۱-۸۰ درصد) بوده است. این ضریب برای شاخص NDVI در مرحله رسیدگی سبز، متوسط و در بقیه مراحل، ضعیف، به دست آمده است. همچنین ضریب تبیین برای شاخص EVI در مرحله قبل از گل‌دهی، ضعیف، در مرحله رسیدگی سبز، متوسط و در مراحل ابتدای گل‌دهی، اوج گل‌دهی و رسیدگی خشک، خیلی ضعیف ارزیابی شده است. این ضریب برای شاخص BNDVI در مرحله قبل از گل‌دهی، خیلی ضعیف، در مرحله رسیدگی خشک، ضعیف، در مراحل ابتدای گل‌دهی و رسیدگی سبز، متوسط و در مرحله اوج گل‌دهی، خوب بوده است. ضریب تبیین سایر شاخص‌ها در مرحله قبل از گل‌دهی، همگی ضعیف و در مرحله ابتدای گل‌دهی، به جز شاخص MTVI1 که در دامنه متوسط و شاخص MTVI2 که در دامنه ضعیف قرار گرفته‌اند، بقیه خیلی ضعیف بوده است. همچنین ضریب تبیین این شاخص‌ها در مرحله اوج گل‌دهی، به جز شاخص MTVI1 که در دامنه متوسط و شاخص‌های MTVI2 و EVI2 که در دامنه ضعیف قرار گرفته‌اند، بقیه خیلی ضعیف به دست آمده و در مرحله رسیدگی سبز، ضریب تبیین این شاخص‌ها متوسط بوده است.

در این تحقیق برای اعتبارسنجی مدل‌های رگرسیون ساده و چند متغیره از روش اعتبارسنجی متقاطع^۱ چند بخشی^۲ استفاده گردید. براساس این روش داده‌ها به چهار دسته تقسیم شدند و در هر بار، سه دسته به عنوان آموزش و دسته چهارم برای اعتبارسنجی استفاده گردید و اعتبارسنجی نهایی براساس میانگین چهار بار اعتبارسنجی محاسبه گردید (شکل ۵). همچنین برای پردازش مدل‌های شبکه عصبی از نرم‌افزار MATLAB استفاده گردید و تقسیم‌بندی داده‌های آن براساس ۷۰ درصد برای آموزش، ۱۵ درصد برای اعتبارسنجی و ۱۵ درصد برای آزمون انجام شد.

ضریب تبیین (R^2) و ریشه میانگین مربعات خطأ (RMSE)^۳ دو آماره‌ای که به عنوان معیارهای ارزیابی روابط به دست آمده، مورد استفاده قرار گرفتند. این آماره‌ها در روابط (۱) و (۲) ارائه شده است. در این روابط n تعداد نمونه‌ها، P_i و A_i به ترتیب میزان عملکرد پیش‌بینی شده و واقعی برای هر پیکسل و \bar{A} میزان متوسط عملکردهای واقعی می‌باشد. یادآور می‌شود تعداد نمونه‌ها در این روابط برابر با ۱۱۲ پیکسل مورد ارزیابی است.

$$R^2 = 1 - \left(\frac{\sum_{i=1}^n (P_i - A_i)^2}{\sum_{i=1}^n (A_i - \bar{A})^2} \right)^2 \quad (1)$$

$$RMSE = \sqrt{\frac{1}{n} \sum (P_i - A_i)^2} \quad (2)$$

1- Cross validation

2- K-Fold

3- Root Mean Square Error

ارزیابی شده‌اند (جدول ۲).

این شاخص‌ها از نظر ضریب تبیین در مرحله رسیدگی خشک، به جز شاخص GNDVI و GARI که ضعیف بوده، بقیه خیلی ضعیف

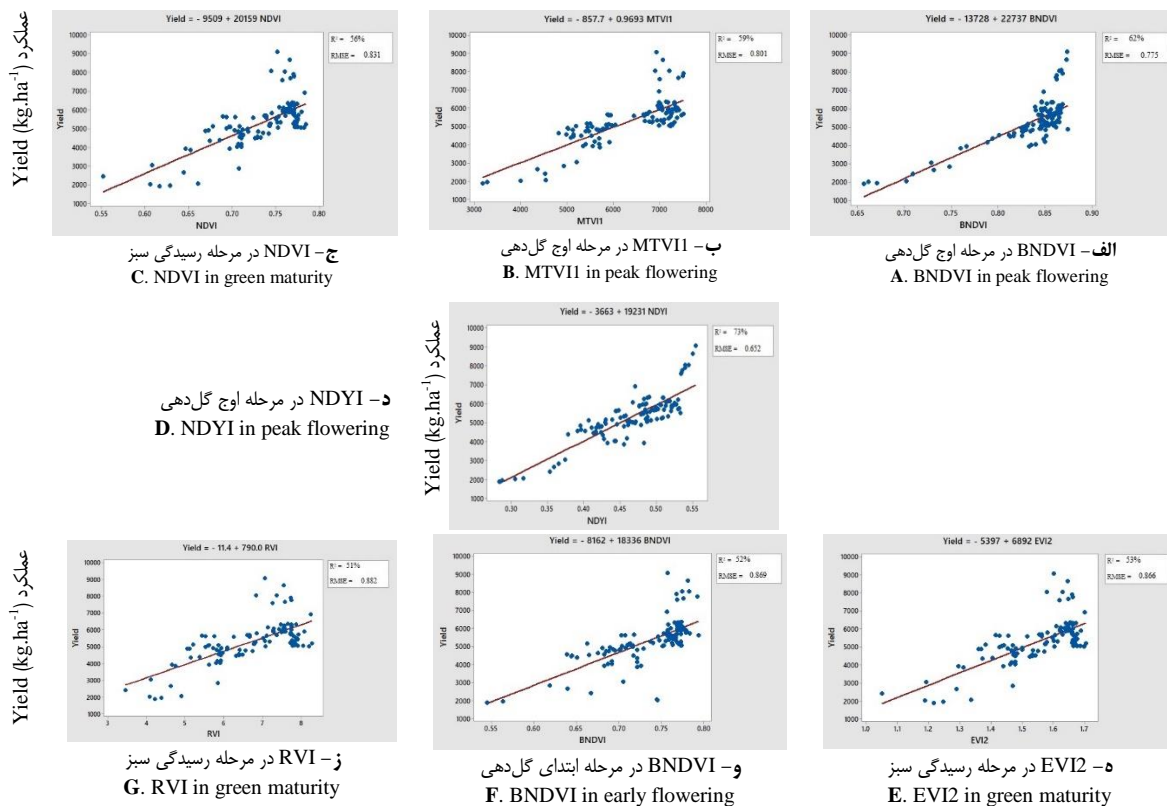
جدول ۲- ضریب تبیین (R^2) و ریشه میانگین مربعات خطأ (RMSE) برای شاخص‌های مورد ارزیابی در مراحل مختلف رشد کلزا

Table 2- Determination coefficient (R^2) and Root Mean Square Error (RMSE) for evaluated spectral indices in different stages of growth

شاخص Index	قبل از گل‌دهی		ابتداي گل‌دهی		اوج گل‌دهی		رسیدگی سبز		رسیدگی خشک	
	R^2 (%)	RMSE (ton.ha ⁻¹)	R^2 (%)	RMSE (ton.ha ⁻¹)	R^2 (%)	RMSE (ton.ha ⁻¹)	R^2 (%)	RMSE (ton.ha ⁻¹)	R^2 (%)	RMSE (ton.ha ⁻¹)
BNDVI	15	1.158	52	0.869	62	0.775	41	0.965	33	1.029
EVI	28	1.068	5	1.231	2	1.251	50	0.888	12	1.179
EVI2	24	1.096	20	1.128	22	1.106	53	0.866	20	1.129
GARI	25	1.091	10	1.195	6	1.219	43	0.948	31	1.045
GNDVI	23	1.102	16	1.152	12	1.176	44	0.937	35	1.014
NDVI	23	1.101	21	1.119	24	1.095	56	0.831	21	1.117
NDYI	2	1.249	45	0.929	73	0.652	32	1.038	24	1.097
MTVI1	28	1.069	41	0.962	59	0.801	42	0.956	8	1.203
MTVI2	21	1.119	26	1.082	32	1.037	49	0.897	18	1.142
RFI	29	1.061	17	1.148	16	1.154	51	0.882	17	1.149

درصد، NDVI در مرحله رسیدگی سبز با ۵۶ درصد، EVI2 در مرحله رسیدگی سبز با ۵۳ درصد، BNDVI در مرحله ابتدای گل‌دهی با ۵۲ درصد و RVI در مرحله رسیدگی سبز با ۵۱ درصد بود (شکل ۶).

با توجه به مقایسه ضرایب تبیین به دست آمده، بیشترین میزان همبستگی شاخص‌های طیفی مورد مطالعه با عملکرد کلزا به ترتیب متعلق به NDYI در مرحله اوج گل‌دهی با ۷۳ درصد، BNDVI در مرحله اوج گل‌دهی با ۶۲ درصد، MTVI1 در مرحله اوج گل‌دهی با

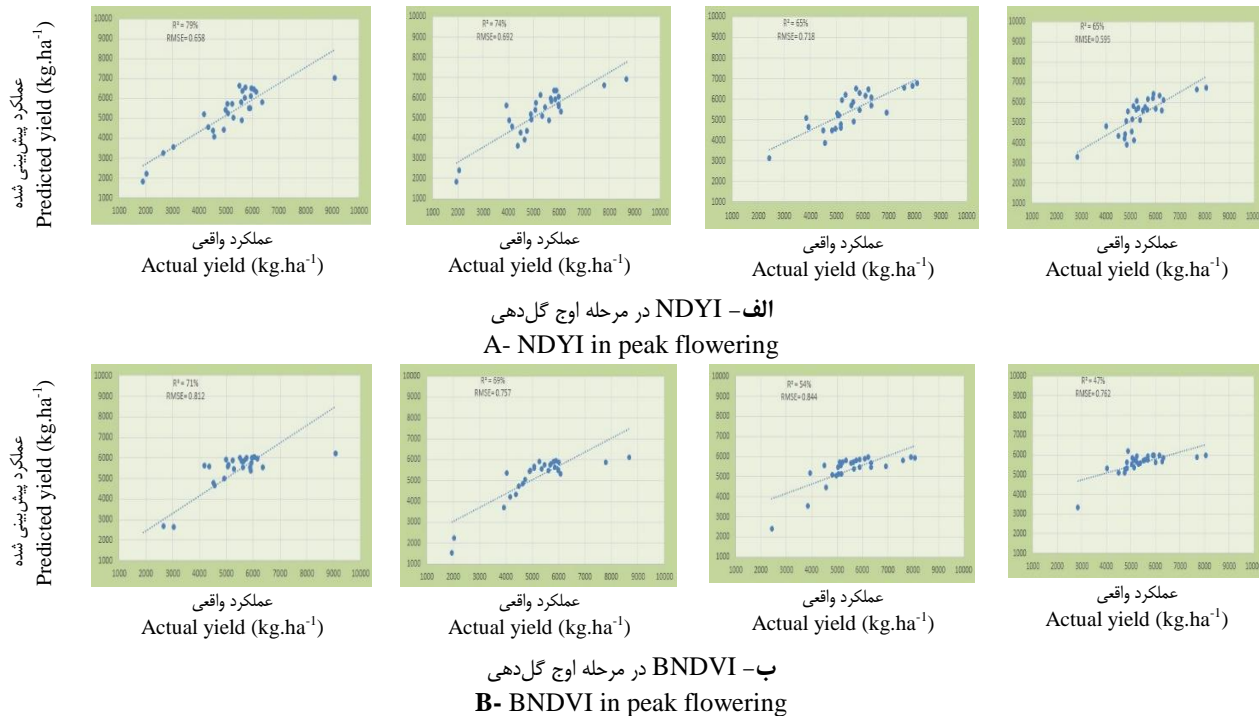


شکل ۶- مدل‌های رگرسیون ساده بین عملکرد کلزا و شاخص‌هایی که ضریب تبیین (R^2) بالاتر از ۵۰٪ کسب کرده‌اند

Fig.6. Simple regression models between canola yield and indices with determination coefficient (R^2) more than 50% recorded

بود. این نتایج، میانگین چهار بار اعتبارسنجی رگرسیون ساده طبق روش اعتبارسنجی متقطع چند بخشی بوده است (شکل ۷).

نتایج اعتبارسنجی دو شاخص NDVI و BNDVI در مرحله اوج گل‌دهی که میزان همبستگی آن‌ها با عملکرد در سطح خوب بوده، به ترتیب ۷۱ و ۶۰ درصد و RMSE آن‌ها به میزان ۰/۶۶۶ و ۰/۷۹۴ بوده.



شکل ۷- اعتبارسنجی متقطع رگرسیون ساده به روش چند بخشی برای شاخص‌های دارای بیشترین میزان همبستگی

Fig.7. Cross validation, K-Fold, of simple regression for indices with highest correlation recorded

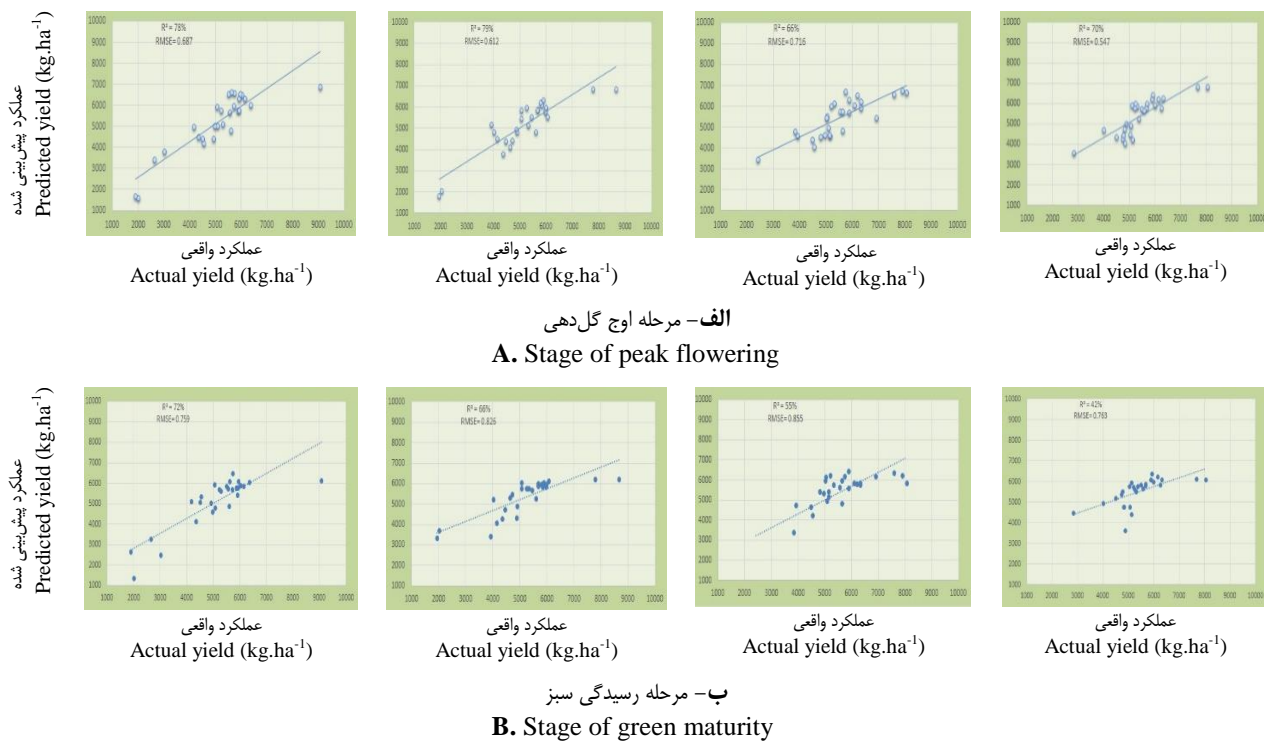
باندها در مرحله رسیدگی سبز نیز با ضریب تبیین ۶۲ درصد در دامنه خوب قرار گرفت و سایر مراحل متوسط یا ضعیف بودند (جدول ۳). نتایج اعتبارسنجی این رگرسیون در دو مرحله اوج گل‌دهی و رسیدگی سبز به ترتیب ۷۳ و ۵۹ درصد و RMSE آن‌ها ۰/۶۴۱ و ۰/۸۰۱ بود. این نتایج میانگین چهار بار اعتبارسنجی رگرسیون چند متغیره طبق روش اعتبارسنجی متقطع چند بخشی بوده است (شکل ۸).

همان‌طور که گفته شد در این مطالعه علاوه بر رگرسیون ساده، رگرسیون چند متغیره با ورودی‌های چهار باند، سه باند مرئی و باند مادون قرمز نزدیک، مورد ارزیابی قرار گرفت. این کار برای پنج مرحله رشد به طور جداگانه و در سطح احتمال ۵ درصد انجام شد. نتایج این رگرسیون نشان داد که بهترین ترکیب باندی در مرحله اوج گل‌دهی با ضریب تبیین ۷۶ درصد می‌باشد (جدول ۳). در این رگرسیون ترکیب

جدول ۳- ضریب تبیین (R^2) و ریشه میانگین مربعات خطأ (RMSE) در رگرسیون چند متغیره برای چهار باند به عنوان ورودی

Table 3- Determination coefficient (R^2) and Root Mean Square Error (RMSE) in multivariate linear regression model for four bands as inputs

مرحله	R^2 (%)	RMSE (ton.ha⁻¹)	Equation	رابطه
قبل از گل‌دهی Before flowering	34	1.011		$\text{Yield} = 650 + 2.94 \text{ Green} + 0.504 \text{ NIR}$
ابتدای گل‌دهی Early flowering	55	0.841		$\text{Yield} = 3177 - 6.66 \text{ Blue} + 1.250 \text{ Green} + 1.091 \text{ NIR}$
اوج گل‌دهی Peak flowering	76	0.622		$\text{Yield} = 3976 - 14.432 \text{ Blue} + 6.360 \text{ Green}$
رسیدگی سبز Green maturity	62	0.778		$\text{Yield} = 8459 + 5.25 \text{ Green} - 12.271 \text{ Red}$
رسیدگی خشک Dry maturity	39	0.981		$\text{Yield} = 8746 - 2.560 \text{ Green}$



شکل ۸- اعتبارسنجی متقاطع رگرسیون چند متغیره به روش چند بخشی برای مراحل دارای بیشترین میزان همبستگی
Fig.8. Cross validation, K-Fold, of the multivariate regression for stages with highest correlation recorded

بهترتبیب برابر با ۹۲ درصد و ۰/۴۶۱ برای مرحله آموزش و ۷۷ درصد و ۰/۶۱۲ برای مرحله آزمون به دست آمد (جدول ۴). در شکل ۱۰ توزیع نقاط و ضریب همبستگی (R) بین مقادیر پیش‌بینی شده و واقعی عملکرد برای این مدل در مرحله اوج گل‌دهی ارائه شده است.

رنگ پوشش گیاهی کلزا در هنگام گل‌دهی از سبز به زرد تبدیل می‌شود و میزان تراکم رنگ زرد در اوج گل‌دهی به بیشترین میزان خود می‌رسد. سپس با تبدیل گل‌ها به غلاف باز رنگ پوشش گیاهی به سبز برگی گردد. دو پوشش گیاهی زرد، در هنگام اوج گل‌دهی و سبز، در هنگام تشکیل کامل غلاف‌ها در زمان رسیدگی سبز، هر دو در شرایط اوج تراکم محصول از نظر زیست‌توده و حجم بوته رخ می‌دهند (شکل ۲ج و ۲د). از آنجایی که میزان پوشش گیاهی و زیست‌توده از یک جانب ارتباط مستقیمی در میزان بارتاب طیف‌های نوری و در نتیجه در میزان شاخص‌های گیاهی دارد و از جانب دیگر میزان عملکرد متأثر از میزان زیست‌توده می‌باشد (Jin *et al.*, 2016; Clevers *et al.*, 2007)، نتایج بدست آمده دال بر این که دو مرحله اوج گل‌دهی و رسیدگی سبز کلزا بیشترین میزان همبستگی با عملکرد را کسب کرده‌اند، دارای قوت بالایی به نظر می‌رسد. حال در جواب سؤال: "از بین دو مرحله اوج گل‌دهی و رسیدگی سبز کدام یک همبستگی بیشتری با عملکرد می‌تواند داشته باشد؟"، احتمالاً نوع محصول و نیز مدل و شاخصی که پیاده‌سازی می‌گردد، نقش کلیدی

در این تحقیق علاوه بر مدل‌های رگرسیونی، مدل شبکه عصبی نیز مورد ارزیابی قرار گرفت. این کار برای پنج مرحله رشد به‌طور جداگانه انجام شد. به‌منظور دستیابی به بهترین ساختار شبکه عصبی، تعداد مختلفی از ساختارها با یک و دو لایه مخفی و با تعداد نرون‌های یک تا ۳۰ در لایه‌های مخفی، آزمون و اعتبارسنجی شده‌اند و همچنین در این تحقیق از بین الگوریتم‌های آموزش، الگوریتم آموزش لونبرگ - مارکوات^۱ انتخاب گردید. نتایج حاصل از اجرای شبکه عصبی برای پنج مرحله رشد در جدول ۴ ارائه شده است. همان‌طور که در این جدول مشاهده می‌شود بهترین نتیجه در همه مراحل رشد با دو لایه مخفی اما با تعداد نرون‌های متفاوت در هر لایه به دست آمد. نتایج این ارزیابی نشان داد که براساس ضریب تبیین در هر دو مرحله آموزش و آزمون، بهترین مدل شبکه عصبی در مرحله اوج گل‌دهی رقم خورد. همچنین بعد از این مرحله، بهتری کسب رسیدگی سبز، ابتدای گل‌دهی و رسیدگی خشک نتایج بهتری کسب کردند و مرحله قبل از گل‌دهی از این لحاظ ضعیف‌ترین مدل پیش‌بینی را کسب نمود. نتایج ارزیابی شبکه عصبی در مرحله اوج گل‌دهی نشان داد که ساختار ۴-۱۵-۸-۱ با چهار ورودی، دو لایه مخفی با ۱۵ و ۸ نرون مخفی و یک پارامتر خروجی، به عنوان بهترین ساختار تعیین شده است (شکل ۹). برای این ساختار ضریب تبیین و

شاخص تا جایی که امکان هست، در جهت نمایندگی گلبرگ‌ها پیش می‌روند. اما در این زمینه سایر اجزا (ساقه‌ها و برگ‌ها) در بازتاب باند دیگر این دو شاخص (در رابطه Green در NIR و در NDVI در رابطه BNDVI) با گلبرگ‌ها همپوشانی دارند و لذا دقیق پیش‌بینی کمتر می‌شود. البته تمام گلبرگ‌ها به غلاف و دانه تبدیل نمی‌شوند و این باز در کاهش دقیق تاثیر خود را دارد. به هر حال این تحلیل وقتی قوت پیش‌بینی می‌گیرد که در رابطه به دست آمده از ترکیب باندی رگرسیون چند متغیره در مرحله اوج گل‌دهی، باز ضریب باند آبی منفی است و از سایر اجزا رابطه کم می‌شود (جدول ۳).

مطالعات (Zhang and Long 2016) Sulik and Long (2016) و نیز Sulik and He, (2013) نشان داد که با توجه به طیف‌سنجی صورت گرفته، در بین مراحل رشد، بیشترین میزان همبستگی برای تخمین عملکرد کلزا در مرحله اوج گل‌دهی به دست می‌آید. در مطالعه حاضر نیز براساس نتایج رگرسیون ساده بیشترین ضریب تبیین برای تخمین عملکرد کلزا متعلق به شاخص NDVI در مرحله اوج گل‌دهی می‌باشد (جدول ۲) و همچنین نتیجه رگرسیون چند متغیره نیز شبکه عصبی نشان دادند که بهترین نتیجه برای برآورد عملکرد کلزا در مرحله اوج گل‌دهی رخ داد (جدول ۳).

در جواب دارد. انتظار می‌رود شاخص‌هایی که در بسیاری از محصولات سبز، نقش پر رنگ‌تری در تخمین عملکرد داشته‌اند، در مرحله اوج گل‌دهی و رنگ زرد پوشش گیاهی کلزا نتوانند همان توانایی را داشته باشند. نتایج این تحقیق نیز نشان می‌دهد که در مرحله اوج گل‌دهی شاخص‌هایی همچون NDVI و RVI و ضرایب تبیین کمتری نسبت به دو شاخص NDVI و BNDVI کسب کرده‌اند. مطالعات صورت گرفته براساس طیف‌سنجی زمینی توسط Sulik and Long (2016) نیز نشان داد در مرحله اوج گل‌دهی دو شاخص NDVI و BNDVI بیشترین همبستگی با عملکرد کلزا داشتند. در مطالعه مذکور در مورد اهمیت باند آبی در پوشش گیاهی زرد کلزا شرح کاملی آمده است. بدین شکل که رنگ زرد حاصل جمع بازتاب سبز و قرمز است. گلبرگ‌های کلزا رنگ آبی را جذب کرده و از رنگ‌های مرئی فقط سبز و قرمز بازتاب می‌شود که به شکل زرد مشاهده می‌شود. در واقع تفاوت دو شاخص NDVI و BNDVI با سایر شاخص‌ها در کم شدن باند Blue در روابط هر دوی آن‌ها است (جدول ۱). براساس این دو رابطه، در مرحله اوج گل‌دهی، بازتاب باند آبی که متعلق به سایر اجزا از جمله ساقه‌ها و برگ‌ها است، از باند دیگر روابط دو شاخص NDVI و BNDVI کم می‌شود و لذا این دو

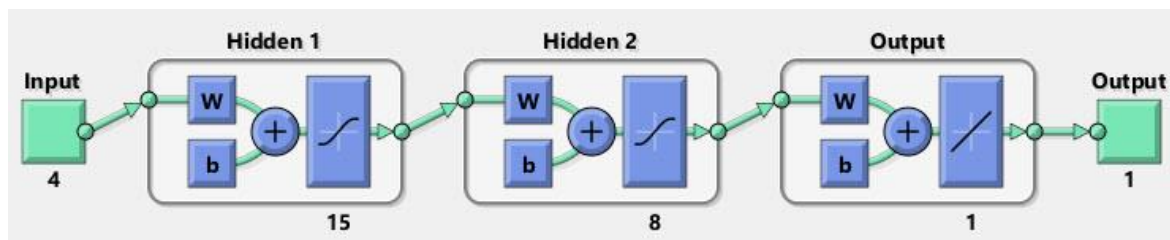
جدول ۴- نتایج شبکه عصبی برای مدل‌سازی عملکرد کلزا در مراحل مختلف رشد

Table 4- Neural network result for modeling canola yield in different growth stages

مرحله	Layer		R ² (%)	آموزش RMSE (ton.ha ⁻¹)	Test RMSE (ton.ha ⁻¹)	آزمون
	NH1*	NH2**				
قبل از گل‌دهی Before flowering	16	7	59	0.801	41	0.962
ابتدا گل‌دهی Early flowering	16	9	83	0.553	61	0.785
اوج گل‌دهی Peak flowering	15	8	92	0.461	77	0.612
رسیدگی سبز Green maturity	14	8	89	0.493	70	0.682
رسیدگی خشک Dry maturity	18	8	65	0.741	60	0.793

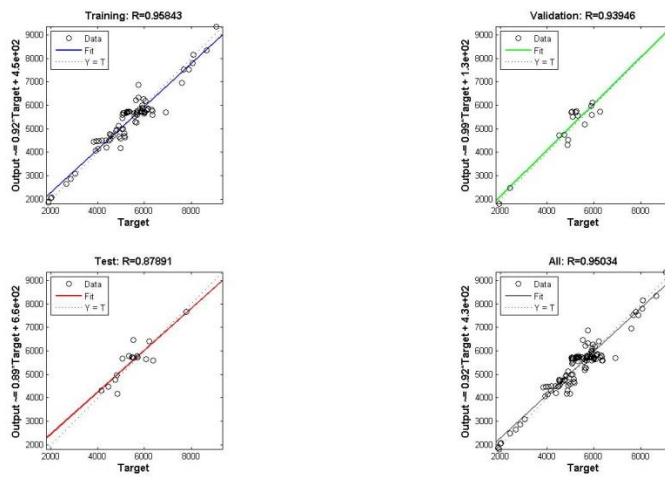
* تعداد نeuron‌های لایه مخفی اول: ۱۶

** تعداد نeuron‌های لایه مخفی دوم: ۷



شکل ۹- ساختار شبکه عصبی در مرحله اوج گل‌دهی

Fig.9. Neural network topology at flowering stage



شکل ۱۰- ضریب همبستگی (R) بین مقادیر پیش‌بینی شده و واقعی عملکرد برای آموزش، آزمون، اعتبارسنجی و کل مدل در اوج گل دهی

Fig.10. Correlation coefficient (R) between predicted and actual yield for training, testing, validation and total calibration at peak of flowering

نشده است اما در مورد شاخص EVI که اساس رابطه آن همانند شاخص EVI2 است (جدول ۲)، این شاخص نتایج مشابه با شاخص NDVI در پیش‌بینی عملکرد کلزا کسب کرد. به طوری که نتایج سنجنده مودیس با دوره ۱۶ روزه ووضوح ۲۵۰ متری نشان داد که ضریب تبیین این دو شاخص در برآورد عملکرد کلزا ۳۵ و ۳۳ درصد بهترین ضریب برای EVI و NDVI می‌باشد (Johnson, 2016). در مطالعه حاضر نیز شاخص‌های NDVI، EVI2، EVI و EVI به ترتیب با کسب ضرایب تبیین ۵۶، ۵۳ و ۵۰ درصد، نتایج مشابهی کسب کرده‌اند. البته تفاوت مقادیر نتایج مطالعه حاضر با مطالعه مذکور می‌تواند به نوع سنجنده و خصوصاً تفاوت قابل توجه وضوح آن‌ها مرتبط باشد. شاخص RVI نیز که در مرحله سبز نتایج خوبی کسب کرده است، شاخصی است که نتایج آن در برخی مطالعات محصولات سبز بهتر از سایر شاخص‌ها گزارش شده است. در این زمینه بیشترین میزان همبستگی با محصول گندم دوروم (Aparicio *et al.*, 2000) و نیز بیشترین میزان همبستگی با ذرت (Shanahan *et al.*, 2001) توسط این شاخص گزارش شده است. همچنین در برآورد عملکرد کلزا با استفاده از تصاویر ماهواره لندست-۸، این شاخص بعد از شاخص NDVI، بیشترین ضریب تبیین را کسب نموده است (Loveimi *et al.*, 2019).

از نتایج دیگر این پژوهش شباهت ترتیب مراحل رشد از نظر میزان همبستگی با عملکرد کلزا در مدل‌های چند متغیره و شبکه عصبی است؛ به طوری که در هر دوی این ارزیابی‌ها، مرحله اوج گل دهی بیشترین همبستگی با عملکرد را کسب نمود و همچنین بعد از این مرحله، به ترتیب مراحل رسیدگی سبز، ابتدای گل دهی، رسیدگی خشک و قبل از گل دهی قرار گرفتند. به نظر می‌رسد این نتایج

نتایج مطالعاتی که عملکرد کلزا را در مراحل مختلف رشد بررسی کرده‌اند (Dominguez *et al.*, 2017; Piekarczyk, 2011) نشان داده است که همبستگی شاخص NDVI با عملکرد در مرحله اوج گل دهی نسبت به زمان رسیدگی سبز کمتر است. این مسأله در نتیجه تحقیق حاضر نیز مشاهده می‌شود به طوری که ضریب تبیین برای این شاخص ۲۴ درصد در مرحله اوج گل دهی در مقابل ۵۶ درصد در مرحله رسیدگی سبز می‌باشد (جدول ۲).

در مقایسه تخمين عملکرد گندم و کلزا به وسیله شاخص‌های NDVI (Basnyat *et al.*, 2004)، نتایج همبستگی شاخص با عملکرد کلزا نسبت به گندم پایین تر گزارش شده و کم بودن این همبستگی به پوشش گیاهی زرد کلزا نسبت داده شده است. در تحقیق حاضر نیز نتایج همبستگی NDVI با عملکرد کلزا در مرحله اوج گل دهی از شاخص‌های دیگر همچون BNDVI و NDYI بسیار کمتر است و این نتیجه می‌تواند متأثر از پوشش گیاهی زرد آن باشد. در مرحله رسیدگی سبز بیشترین ضرایب تبیین به ترتیب به NDVI، EVI2، NDVI و RVI تعلق داشت (جدول ۲). شاخص مطالعه متناول پوشش گیاهی در تعیین زیست‌توده و عملکرد می‌باشد که در بسیاری از محصولات سبز نتایج بهتری نسبت به سایر شاخص‌ها کسب کرده است و در این تحقیق بیشترین ضریب تبیین در مرحله سبز را کسب نموده است. همچنین در تخمين عملکرد کلزا GNVI در جنوب غربی استان خوزستان این شاخص بعد از شاخص Zahirnia *et al.*, (2016) بیشترین ضریب تبیین را کسب نموده است (). البته مطالعه مذکور با استفاده از تصاویر لندست-۸ و براساس بررسی مزارع مختلف انجام گردیده است. به طور مشخص ارتباط شاخص EVI2 با عملکرد کلزا در مطالعات سنجنده سنتینل-۲

مرحله، متعلق به سایر اجزا از جمله ساقه‌ها و برگ‌ها است؛ لذا با کم شدن آن (داشتن ضریب منفی)، مدل‌ها و روابط، هرچه بیشتر در چهت نمایندگی گلبرگ‌ها پیش می‌روند. در نتیجه از آنجایی که میزان گلبرگ‌ها با میزان خلاف و دانه استحصالی رابطه مستقیم دارد، همبستگی با عملکرد پهبود یافت. علاوه بر این، در ارزیابی مدل شبکه عصبی نیز بیشترین میزان همبستگی با عملکرد کلزا در مرحله اوج گل‌دهی بدست آمد. همچنین در هر دو ارزیابی مدل‌های رگرسیون چند متغیره و شبکه عصبی، بعد از مرحله اوج گل‌دهی، به ترتیب مراحل رسیدگی سبز، ابتدای گل‌دهی، رسیدگی خشک و قبل از گل‌دهی بیشترین میزان همبستگی با عملکرد را کسب کردند.

پیشنهادها

براساس نتایج این تحقیق، گل‌های کلزا و پوشش گیاهی زرد آن نقش مهمی در پیش‌بینی عملکرد دارد. پیشنهاد می‌شود بهوسیله دوربین‌های رقومی و سنجنده‌های مستقر بر پهباشد، روند توسعه گل‌ها و پوشش زرد کلزا به صورت روزانه رصد شود و این روند با میزان عملکرد کلزا در پیکسل‌ها و یا مزارع متفاوت ارزیابی گردد. همچنین این پژوهش براساس به کارگیری سنجنده نوری (طیفی) ستینل-۲ صورت گرفت؛ پیشنهاد می‌شود سنجنده‌های راداری و نیز ترکیب آن‌ها با سنجنده‌های نوری برای پیش‌بینی عملکرد کلزا مطالعه شود.

References

1. Ahamed, T., L. Tian, Y. Zhang, and K. C. Ting. 2011. A review of remote sensing methods for biomass feedstock production. *Biomass and Bioenergy* 35: 2455-2469.
2. Alavipanah, S. K. 2016. Fundamentals of modern remote sensing and interpretation of Satellite images and aerial photos. University of Tehran. Tehran. (In Farsi).
3. Alizadeh Rabie, H. 2014. Remote Sensing (Principles and Application). Samt Press. Tehran.
4. Aparicio, N., D. Villegas, J. Casadesus, J. L. Araus, and C. Royo. 2000. Spectral vegetation indices as nondestructive tools for determining durum wheat yield. *Agronomy Journal* 92 (1): 83-91.
5. Ash, M. 2017. Canola Production and Processing. Available at: <https://www.ers.usda.gov/topics/crops/soybeans-oil-crops/canola.aspx>. Accessed 27 March 2018.
6. Basnyat, P., B. McConkey, G. P. Lafond, A. Moulin, and Y. Pelcat. 2004. Optimal time for remote sensing to relate to crop grain yield on the Canadian prairies. *Canadian Journal of Plant Science* 84 (1): 97-103.
7. Birth, G. S., and G. R. McVey. 1968. Measuring color of growing turf with a reflectance spectrophotometer. *Agronomy Journal* 60: 640-649.
8. Boschetti, M., S. Bocchi, and P. A. Brivio. 2007. Assessment of pasture production in the Italian Alps using spectrometric and remote sensing information. *Agriculture, Ecosystems & Environment* 118: 267-272.
9. Buschmann, C., and E. Nagel. 1993. In vivo spectroscopy and internal optics of leaves as basis for remote sensing of vegetation. *International Journal of Remote Sensing* 14: 711-722.
10. Clevers, J. G. P. W., G. W. A. M. Van Der Heijden, S. Verzakov, and M. E. Schaeppman. 2007. Estimating grassland biomass using SVM band shaving of hyperspectral data. *Data Photogrammetric Engineering & Remote Sensing* 73 (10): 1141-1148.
11. Cowley, R. B., D. J. Luckett, J. S. Moroni, and S. Diffey. 2014. Use of remote sensing to determine the relationship of early vigour to grain yield in canola (*Brassica napus* L.) germplasm. *Crop & Pasture Science* 65: 1288-1299.
12. Dominguez, J. A., J. Kumhalova, and P. Novak. 2017. Assessment of the relationship between spectral indices from satellite remote sensing and winter oilseed rape yield. *Agronomy Research* 15 (1): 055-068.
13. Gallego, J., E. Carfagna, and B. Baruth. 2010. Accuracy, objectivity and efficiency of remote sensing for agricultural statistics. PP 193-211 in R. Benedetti., M. Bee., G. Espa and F. Piersimoni eds. Agricultural Survey Methods. John Wiley & Sons Inc., New York.

مشترک دو مدل با میزان حجم پوشش گیاهی و زیست‌توده مرتبط است. در واقع همان طور که گفته شد در مرحله اوج گل‌دهی و نیز رسیدگی سبز بیشترین تراکم پوشش گیاهی و زیست‌توده وجود دارد و همبستگی بیشتر این دو مرحله قابل انتظار بود. همچنین همان طور که بحث شد کلزا به دلیل پوشش گیاهی زرد آن، بهترین زمان پیش‌بینی عملکرد آن در مرحله اوج گل‌دهی اتفاق افتاده است. مراحل دیگر رشد نیز با توجه به میزان زیست‌توده آن‌ها، از همبستگی متفاوتی برخوردار بودند؛ به طوری که مرحله قبل از گل‌دهی با توجه به حداقل زیست‌توده و پوشش گیاهی کمترین همبستگی را کسب نمود.

نتیجه‌گیری

نتایج این تحقیق نشان داد براساس ارزیابی‌های شاخص‌های مختلف طیفی با استفاده از مدل رگرسیون ساده، بیشترین میزان همبستگی با عملکرد کلزا توسط شاخص جدید NDYI در مرحله اوج گل‌دهی کسب گردید. همچنین براساس ارزیابی مدل رگرسیون چند متغیره، بهترین ترکیب باندی در مرحله اوج گل‌دهی در رابطه شاخص NDYI و نیز ترکیب باندی مرحله اوج گل‌دهی مدل رگرسیون چند متغیره، ضریب باند آبی (Blue)، منفی می‌باشد. در واقع در مرحله اوج گل‌دهی، گلبرگ‌های زرد کلزا باند آبی را جذب می‌کنند و در نتیجه بازنگاری بازتاب باند آبی متصفح از پوشش گیاهی محصول در این

14. Gitelson, A. A., Y. J. Kaufman, R. Stark, and D. Rundquist. 2002. Novel algorithms for remote estimation of vegetative fraction. *Remote Sensing of Environment* 80: 76-87.
15. Goel, P. K., S. O. Prasher, J. A. Landry, R. M. Patel, A. A. Viau, and J. R. Miller. 2003. Estimation of crop biophysical parameters through airborne and field hyperspectral remote sensing. *Transactions of the ASAE* 46 (4): 1235-1246.
16. Haboudane, D., J. R. Miller, E. Pattey, P. J. Zarco Tejada, and I. B. Strachan. 2004. Hyperspectral vegetation indices and novel algorithms for predicting green LAI of crop canopies: Modeling and validation in the context of precision agriculture. *Remote Sensing of Environment* 90: 337-352.
17. Huete, A. R., C. Justice, and W. Van Leeuwen. 1996. MODIS vegetation index (mod13). Algorithm theoretical basis document. Version 2. NASA Goddard Space Flight Center. Washington D. C.
18. Jago, R. A., M. E. J. Cutler, and P. J. Curran. 1999. Estimating canopy chlorophyll concentration from field and airborne spectra. *Remote Sensing of Environment* 68 (3): 217-224.
19. Jiang, Z., A. R. Huete, K. Didan, and T. Miura. 2008. Development of a two-band enhanced vegetation index without a blue band. *Remote Sensing of Environment* 112: 3833-3845.
20. Jin, X., L. Kumar, Z. Li, X. Xu, G. Yang, and J. Wang. 2016. Estimation of winter wheat biomass and yield by combining the aquacrop model and field hyperspectral data. *Remote Sensing* 8. Available at: <http://https://doi.org/10.3390/rs8120972>. Accessed 4 March 2019.
21. Johnson, D. M. 2016. A comprehensive assessment of the correlations between field crop yields and commonly used MODIS products. *International Journal of Applied Earth Observation and Geo information* 52: 65-81.
22. Johnson, L., F. Roczen, D. Youkhana, R. Nemani, and D. Bosch. 2003. Mapping vineyard leaf area with multispectral satellite imagery. *Computers and Electronics in Agriculture* 38: 33-44.
23. Kaab, A., M. Sharifi, H. Mobli, A. Nabavi-Peleesarai, and K. Chau. 2019. Combined life cycle assessment and artificial intelligence for prediction of output energy and environmental impacts of sugarcane production. *Science of the Total Environment* 664: 1005-1019.
24. Kazem, M., S. Mirzaei, and B. Maadi. 2016. Canola cultivation. Taak Press. Tehran. (In Farsi).
25. Khalili, S. M., A. Rezaee, and A. Haji Ahmad. 2016. Ripe detection and estimation of rapeseed crop yield based on remote sensing image processing. Thesis of Master of Science. University of Tehran. (In Farsi).
26. Languille, F., A. Gaudel1, B. Vidal, R. Binet, V. Poulain, and T. Trémas, 2017. Sentinel-2B Image Quality commissioning phase results and Sentinel2 constellation performances. Conference on Sensors, Systems, and Next-Generation Satellites XXI Location: Warsaw, POLAND Date: SEP 11-14, 2017.
27. Lee, K. S., W. B. Cohen, R. E. Kennedy, T. K. Maiersperger, and S. T. Gower. 2004. Hyperspectral versus multispectral data for estimating leaf area index in four different biomes. *Remote Sensing of Environment* 91: 508-520.
28. Li, A., S. Liang, A. Wang, and J. Qin. 2007. Estimating Crop Yield from Multi-temporal Satellite Data Using Multivariate Regression and Neural Network Techniques. *Photogrammetric Engineering & Remote Sensing* 73 (10): 1149-1157.
29. Li, F., M. L. Gnyp, L. Jia, Y. Miao, Z. Yua, W. Koppe, G. Bareth, X. Chen, and F. Zhang. 2008. Estimating N status of winter wheat using a handheld spectrometer in the North China Plain. *Field Crops Research* 106 (1): 77-85.
30. Loveimi, N., A. Akram, N. Bagheri, and A. Haji Ahmad. 2019. Prediction of canola yield in some of growth stages by using Landsat satellite, OLI sensor. *Journal of Iran Biosystems Engineering* 50 (1): 101-113. (In Farsi).
31. Mkhabela, M. S., P. Bullock, S. Raj, S. Wang, and Y. Yang. 2011. Crop yield forecasting on the Canadian Prairies using MODIS NDVI data. *Agricultural and Forest Meteorology* 151: 385-393.
32. Mcbratney, A., B. Whelan, T. Ancev, and J. Bouma. 2005. Future Directions of Precision Agriculture. *Journal of Precision Agriculture* 6 (1): 7-23.
33. Norgholipor, F., H. Rezaei, K. Mirzashahi, and H. Haghighatnia. 2014. Integrative management instruction of soil fertility and canola feeding. Soil and Water Research Institute. Tehran. (In Farsi).
34. Panda, S. S., D. P. Ames, and S. Panigrahi. 2010. Application of Vegetation Indices for Agricultural Crop Yield Prediction Using Neural Network Techniques. *Remote Sensing* 2: 673-696.
35. Piekarczyk, J. 2011. Winter oilseed-rape yield estimates from hyperspectral radiometer measurements. *Journal of Quaestiones Geographicae* 30 (1): 77-84.
36. Pratt, S. 2013. Satellite crop estimate too low: Analysts. The Western Producer. Available at: <https://www.producer.com/2013/10/satellite-crop-estimate-too-low-analysts>. Accessed 28 March 2018.
37. Raun, W. R., J. B. Solie, M. L. Stone, E. V. Lukina, W. E. Thomason, and J. S. Schepers. 2001. In-season prediction of potential grain yield in winter wheat using canopy reflectance. *Agronomy Journal* 93: 131-138.
38. Rezaei, A., and S. A. Mirmohammadi. 2011. Statistics and probability, application in agriculture. Jahad Daneshgahi Sanati Esfahan Press. Tehran. (In Farsi).

39. Rischbeck, R., S. Elsayed, B. Mistele, G. Barmeier, K. Heil, and U. Schmidhalter. 2016. Data fusion of spectral, thermal and canopy height parameters for improved yield prediction of drought stressed spring barley. European Journal of Agronomy 78: 44-59.
40. Roodi, D., S. Rahmanpoor, and F. Javidfar. 2004. Cultivation of canola. Seed Breeding Research Institute. Tehran. (In Farsi).
41. Rostami, M. A., and H. Afzali Gorouh. 2017. Remote sensing of residue management in farms using Landsat 8 sensor imagery. Journal of Agricultural Machinery 7 (2): 388-400. (In Farsi).
42. Rouse, J. W., R. H. Haas, J. A. Schell, and D. W. Deering. 1974. Monitoring vegetation systems in the Great Plains with ERTS. Third Earth Resources Technology Satellite (ERTS) Symposium, NASA SP-351 I: 309-317. Washington D. C. USA.
43. Sanaeinejad, H., M. Nassiri Mahallati, H. Zare, N. Salehnia, and M. Ghaemi. 2014. Wheat yield estimation using Landsat images and observation. Journal of Plant Production 20 (4): 45-63. (In Farsi).
44. Schwalbert, R. A., T. J. C. Amado, L. Nieto, S. Varela, G. M. Corassa, T. A. N. Horbe, C. W. Rice, N. R. Peralta, and I. A. Ciampitti. 2018. Forecasting maize yield at field scale based on high-resolution satellite imagery. Biosystems Engineering 171: 179-192.
45. Shanahan, J. F., J. S. Schepers, D. D. Francis, G. E. Varvel, W. W. Wilhelm, J. M. Tringe, M. R. Schlemmer, and D. J. Major. 2001. Use of remote-sensing imagery to estimate corn grain yield. Agronomy Journal 93: 583-589.
46. Sicre, C. M., J. Inglada, R. Fieuzal, F. Baup, S. Valero, J. Cros, M. Huc, and V. Demarez. 2016. Early Detection of Summer Crops Using High Spatial Resolution Optical Image Time Series. Remote Sensing 8 (7): 591. Available at: <http://doi:10.3390/rs8070591>. Accessed 3 March 2019.
47. Sulik, J. J., and D. S. Long. 2016. Spectral considerations for modeling yield of canola. Remote Sensing of Environment 184: 161-174.
48. Vigneau, N., M. Ecarnot, G. Rabatel, and P. Roumet. 2011. Potential of field hyperspectral imaging as a nondestructive method to assess leaf nitrogen content in wheat. Field Crops Research 122: 25-31.
49. Weber, V. S., J. L. Araus, J. E. Cairns, C. Sanchez, A. E. Melchinger, and E. Orsini. 2012. Prediction of grain yield using reflectance spectra of canopy and leaves in maize plants grown under different water regimes. Field Crops Research 128: 82-90.
50. Yamamoto, K., W. Guo, Y. Yoshioka, and S. Ninomiya. 2014. On plant detection of intact tomato fruits using image analysis and machine learning methods. Journal of Sensors (Basel) 14 (7): 12191-12206.
51. Zahirnia, A., H. R. Matinfar, and M. Zinvand. 2016. Prediction of canola yield base on Landsat-8 in west south of Khuzestan province. 4th International conference on applied research in agricultural sciences. Tehran. (In Farsi).
52. Zhang, X., and He, Y. 2013. Rapid estimation of seed yield using hyperspectral images of oilseed rape leaves. Journal of Industrial Crops and Products 42: 416-420.
53. Zou, X. B., J. Y. Shi, L. M. Hao, J. W. Zhao, H. P. Mao, Z. W. Chen, Y. X. Li, and M. Holmes. 2011. In vivo noninvasive detection of chlorophyll distribution in cucumber (*Cucumis sativus*) leaves by indices based on hyperspectral imaging. Journal of Analytica Chimica Acta 706: 105-112.

Evaluation of Several Spectral Indices for Estimation of Canola Yield using Sentinel-2 Sensor Images

N. Loveimi¹, A. Akram^{2*}, N. Bagheri³, A. Hajiahmad⁴

Received: 23-04-2019

Accepted: 14-07-2019

Introduction

Remote sensing and using satellite images have been widely considered due to the high speed of measurement and great area of coverage. Canola is a source of edible oil and its cultivation in Iran and the world is developing. Comparing with other crops, canola, because of its yellow flowers, has a different canopy color, and only a few researches have been carried out in order to assess the spectral indices for prediction of its yield. Therefore, the main objective of this research is to evaluate some spectral vegetation indices to estimate the yield of canola in different growth stages.

Materials and Methods

The study was performed in 2016-2017 in Karaj, Iran. Three canola farms were chosen for the evaluation of the relationship between yield and some vegetation indices derived from the Sentinel-2 sensor. The sensor data were processed in five stages: before flowering, early flowering, peak of flowering, green and dry maturity, and the vegetation indices were extracted for each of them. This research was pixel-based and the pixels network of each studied farm was determined by RTK GPS. During harvesting time, for measurement of grain yield, five samples, four from the corners and one from the center of the pixel, were taken and their average was considered as the representative amount of the pixel. Totally, 112 pixels from three studied farms were used to calibrate the predictive models. By using Simple Linear Regression (SLR) models, ten new and conventional vegetation indices were assessed. Also, Multivariate Linear Regression (MLR) models and Artificial Neural Net (ANN) models with four bands, three visible bands and NIR band, as inputs, were used to predict the canola yield. In order to validate the SLR and MLR models, the "K-Fold" method of cross-validation was used, and for the validation of ANN models, 15% of data were used; 70% for the train, 15% for validation, and 15% for the test.

Results and Discussion

The results showed that, on the basis of SLR models, among the growth stages, the highest coefficient of determination (R^2) in each of the vegetation indices belonged to one of the two stages: the peak of flowering and green maturity. According to SLR models, among the vegetation indices in different stages, the NDVI in the peak of the flowering stage had the highest correlation with yield ($R^2 = 73\%$). Also, the RVI with 29%, BNDVI with 52%, NDVI with 56%, and GNDVI with 35% had the highest R^2 in the before flowering, early flowering, peak of flowering, green and dry maturity stages, respectively. MLR models resulted to the best yield predictive model at the peak of flowering stage ($R^2 = 76\%$ for the calibration and $R^2 = 73\%$ and RMSE = 0.641 for the validation). For ANN models, the strongest model achieved at peak of flowering stage ($R^2 = 92\%$ for the calibration (train) and $R^2 = 77\%$ and RMSE = 0.612 for the validation (test)). It seems that the results are affected by yellow flowers of canola, and absorption of blue light by their petals. Therefore, in the peak of the flowering stage, the reflection of the blue light is more likely to belong to green leaves and stems. Therefore, any index such as NDVI, which the blue reflection is subtracted in its equation, represents better the number of flowers, and since the density of flowers is directly related to the yield, the yield will be predicted with more precision.

Conclusions

The results of the analysis of the indices by SLR models showed that the correlation of each of the vegetation indices with the canola yield, in different stages of growth, has a considerable difference. Based on this model,

-
- 1- PhD. Student, Department of Agricultural Machinery Engineering, Faculty of Agricultural Engineering and Technology, College of Agriculture & Natural Resources, University of Tehran, Karaj, Iran
 - 2- Associate Professor, Department of Agricultural Machinery Engineering, Faculty of Agricultural Engineering and Technology, College of Agriculture & Natural Resources, University of Tehran, Karaj, Iran
 - 3- Assistant Professor, Agricultural Engineering Research Institute, Agricultural Research, Education and Extension Organization (AREEO), Karaj, Iran
 - 4- Assistant Professor, Department of Agricultural Machinery Engineering, Faculty of Agricultural Engineering and Technology, College of Agriculture & Natural Resources, University of Tehran, Karaj, Iran
- (*- Corresponding Author Email: aakram@ut.ac.ir)

the highest R^2 in each of these indices happened in the peak of flowering or green maturity stage, and among these indices in different stages, the NDYI in the peak of the flowering stage had the highest R^2 . Finally, in both of the MLR and ANN models, with four bands, three visible bands and near-infrared band, as inputs, the best yield predictive model resulted in the peak of the flowering stage.

Keywords: Normalized Difference Yellowness Index (NDYI), Remote sensing, Sentinel-2 sensor, Vegetation index, Yield prediction